

## Quantitative Assessment of Soil-water Erosion with the EPM Model (Case Study: Badranloo Watershed basin)

Teimour Jafari <sup>1\*</sup>, Mahnaz Naemie <sup>2</sup>, Ahmad Zakerian <sup>3</sup>

<sup>1</sup> Assistant Professor of Earth Sciences, University of Damghan, Damghan, Iran

<sup>2</sup> MA Degree in Geomorphology, Hakim Sabzevari University, Sabzevar, Iran

<sup>3</sup> MA Degree in Geomorphology, University of Tehran, Tehran, Iran

### Abstract

Soil erosion is one of environmental problems in northern Khorasan province and Badranloo basin. Surveys show that about 461574 tons of soil are eroded from the loess fertile lands of the Badranloo basin annually which has led to a decrease in soil fertility and accumulation of sediment. The sediment resulting from erosion reduces the useful life of dams and water structures in the low stream of basin. The aim of this study was quantitative evaluation of water erosion in the Badranloo basin and the Experimental erosion Potential Method (EPM) has been used in this regard. In this study, within evaluating the water erosion, the specific sediment value for sub-basins and the whole of Badranloo watershed is calculated by ILWIS 3.3 software and specific sediment yield map (GSp) was prepared. ANOVA method was used in SPSS software for analyzing the geological and escalation erosion, along with for statistical analysis of the role of topographic factors in the severity of soil erosion. The results indicate the alarming state of ecological instability in the basin area. So, the annual average water erosion of soil in the basin is about 23.73 ton / ha. Among sub-basins, the sub-basin No. 4 located in the center of the basin with an annual concentration of about 63.89 ton / ha has the highest soil erosion. Groove and mass erosion are common water erosions at the basin level. In addition to lithology conditions and land-use change, among topographic factors, slope and direction of gradient have the greatest effect on the severity of the soil erosion of the basin due to the high correlation.

**Key words:** Water Erosion, Soil, Badranloo Watershed, Topography, EPM Model.

\* tei.jafarie.53@gmail.com

## ارزیابی کمی فرسایش آبی خاک با مدل EPM

(مطالعه موردی: حوضه آبخیز بدرانلو)

تیمور جعفری<sup>\*</sup>، استادیار، دانشکده علوم زمین، دانشگاه دامغان، دامغان، ایران

مهناز ناعمی تبار، دانش آموخته کارشناسی ارشد ژئومورفولوژی، دانشگاه حکیم سبزواری، سبزوار، ایران

سید احمد ذاکریان، دانش آموخته کارشناسی ارشد ژئومورفولوژی، دانشگاه تهران، تهران، ایران

وصول: ۱۴۰۳/۰۷/۱۱ پذیرش: ۱۳۹۵/۱۰/۲۹، صص ۱۵۸-۱۴۱

### چکیده

فرسایش خاک از مشکلات زیست محیطی موجود در استان خراسان شمالی و حوضه آبخیز بدرانلو است. بررسی‌ها نشان می‌دهد سالیانه حدود ۴۶۱۵۷۴ تن خاک از زمین‌های حاصلخیز لسی حوضه بدرانلو فرسایش می‌یابد که به کاهش حاصلخیزی خاک و اباحت رسوبات منجر شده و رسوبات حاصل از فرسایش موجب کاهش عمر مفید سدها و سازه‌های آبی بخش پایاب حوضه می‌شود. در این پژوهش که با هدف ارزیابی کمی فرسایش آبی در حوضه بدرانلو انجام شده، از روش تجربی پتانسیل فرسایش<sup>(۱)</sup> (EPM) استفاده شده است. در پژوهش حاضر ضمن ارزیابی کمی فرسایش آبی خاک، مقدار رسوب ویژه برای زیرحوضه‌ها و کل حوضه آبخیز بدرانلو در نرم‌افزار ILWIS 3.3 محاسبه و نقشه مقدار رسوب ویژه حوضه (GSp) تهیه شد؛ سپس ضمن تحلیل فرسایش زمین‌شناسی و فرسایش تشیدی در آنالیز آماری و بررسی نقش عوامل توپوگرافی در شدت فرسایش خاک، از روش ANOVA در نرم‌افزار SPSS استفاده شد. نتایج بدست آمده وضعیت نگران‌کننده ناپایداری بوم‌شناختی را در سطح حوضه گوشزد کرده است؛ به گونه‌ای که میانگین سالیانه فرسایش آبی خاک در حوضه حدود ۲۳/۷۳ تن در هکتار است. در بین زیرحوضه‌ها، زیرحوضه ۴ واقع در مرکز حوضه با سالیانه حدود ۶۳/۸۹ تن در هکتار بیشترین میزان فرسایش خاک را دارد. فرسایش شیاری و توده‌ای، فرسایش آبی متداول در سطح حوضه است. علاوه بر شرایط لیتوژئی و تغییر کاربری اراضی، در بین عوامل توپوگرافی، شب و جهت شب با توجه به همبستگی زیاد بیشترین تأثیر را در شدت فرسایش خاک حوضه دارند.

**واژه‌های کلیدی:** فرسایش آبی، خاک، حوضه بدرانلو، توپوگرافی، مدل EPM

<sup>1</sup> Erosion Potential Method

Tei.Jafarie.53@Gmail.Com

\*نویسنده مسئول:

## مقدمه

فرسایش و بهویژه با نوع رخساره فرسایشی دارد (فاستر<sup>۱</sup>: ۱۹۸۲؛ مکول<sup>۲</sup>: ۱۹۸۷؛ چربارتی<sup>۳</sup>: ۱۹۹۲؛ ۲۵، بتنی و کریسمر<sup>۴</sup>: ۲۰۰۰؛ رنگ‌آور، ۱۳۸۴: ۱۲ و دادرسی سبزوار، ۱۳۸۴: ۱۷). شیب دامنه، عامل توپوگرافی، با افزایش فعالیت عوامل مورفوژئیک در بیلان مورفوژنز - پدروژنز به نفع مورفوژنز عمل می‌کند (رجایی، ۱۳۷۳: ۲۱۷). در شرایط آب و هوایی و زمین‌شناسی یکسان، عوامل توپوگرافی آثار متفاوتی را از خود نشان می‌دهند. با این شرایط می‌توان توپوگرافی را اساس تخریب و فرسایش به حساب آورد (جداری عیوضی و جوکار، ۱۳۸۰: ۷۳)؛ از این رو مسئله اصلی پژوهش این است که نوع کاربری، تغییرات ارتفاع، شیب و آزمودت جغرافیایی دامنه چه نقشی در شدت فرسایش دارند و تأثیر آنها چگونه است.

علاوه بر شرایط طبیعی، عامل اصلی دیگر در فرسایش آبی خاک «افزایش جمعیت» و «استفاده بیش از حد از زمین» است. امروزه کمتر منطقه‌ای در سطح زمین دیده می‌شود که در معرض تخریب و فرسایش قرار نگرفته باشد (احمدی، ۱۳۹۰: ۱۹۵)؛ با وجود این انسان یکی از عوامل و فرایندهای ژئومورفیک است. در بین تمام عوامل و فرایندهایی که در پیدایش و تحول اشکال ناهمواری‌های زمین نقش و دخالت تعیین‌کننده‌ای دارند، نباید نقش جوامع انسانی را در آمایش سرزمین و محیط طبیعی نادیده گرفت. امروزه GIS پژوهشگران علوم زمین با بهره‌گیری از ابزارهای و سنجش از دور در قالب مدل‌های تجربی اقدام به

فرسایش به فرایندی گفته می‌شود که طی آن ذرات خاک از بستر اصلی خود جدا و به کمک عامل انتقال‌دهنده به مکانی دیگر حمل می‌شوند؛ به طوری که بسته به نوع عامل انتقال، انواع فرسایش‌های آبی، بادی، یخچالی و فرسایش ناشی از نیروی ثقل وجود دارد (رفاهی، ۱۳۹۴: ۳). امروزه به دلیل رشد تکنولوژی و فشار بیش از حد به منبع طبیعی خاک، فرسایش خاک به عاملی بحران‌ساز در سطح جهان مبدل شده است. کشور ایران به دلیل شرایط جغرافیایی و نحوه مدیریت و بهره‌برداری از خاک، با میزان ۱۵ تن در هکتار رتبه نخست فرسایش خاک را در سطح جهان و بین کشورهای در حال توسعه دارد. براساس پژوهش‌های انجام‌شده، نزدیک به ۱۲۵ میلیون هکتار از ۱۶۵ میلیون هکتار زمین‌های کشور در معرض فرسایش قرار دارند ( مؤسسه تحقیقات خاک و آب، ۱۳۸۳: ۲۲۴). استان خراسان شمالی به دلیل دیم‌کاری وضعیت بسیار نامطلوبی در سطح کشور دارد و رتبه نخست را در این زمینه به خود اختصاص می‌دهد.

فرایندهای فرسایشی در حوضه‌های آبی، نتیجه تأثیر عوامل پیچیده‌ای است که شناسایی آنها نیاز به بررسی‌های دقیق و همه‌جانبه‌ای دارد. اقلیم و توپوگرافی از مهم‌ترین عوامل مؤثر در فرسایش به شمار می‌روند. ویژگی‌های توپوگرافی مانند طول، شیب، انحدار و جهت شیب دامنه با تأثیر در الگوی بارش و دما، میکرواقلیم خاصی را به وجود می‌آورند و ضمن تأثیرگذاری بر بسیاری از ویژگی‌های خاک، در میزان فرسایش آبی خاک تأثیر می‌گذارند. شیب، یکی از ویژگی‌هایی است که همبستگی زیادی با

<sup>1</sup> Foster

<sup>2</sup> Mccool

<sup>3</sup> Chakrabarti

<sup>4</sup> Battany & Grismer

اشکال مختلف بر فرسایش در حوضه تأثیر می‌گذارد. حوضه آبخیز بدرانلو از مناطقی است که به دلیل شرایط طبیعی، دیمکاری و عملیات خاکورزی غیراصولی طی سالهای اخیر بهشدت متاثر از فرسایش آبی خاک قرار گرفته و آثار فرسایش خاک از قبیل فرسایش گالی<sup>۱</sup>، زمینلغزش و سولیفلوکسیون در آن مشهود است.

با گرلو و همکاران<sup>۲</sup> (۲۰۱۱) با استفاده از مدل‌های تجربی هدررفت خاک را در شبکهای متوسط برآورد کردند و به این نتیجه رسیدند که غلظت رسوب با توان روان‌آب افزایش می‌یابد.

هادیان و همکاران (۱۳۸۶) در مقایسه دو روش EPM و MPSIAC در برآورد فرسایش و رسوب در زیرحوضه لاسم از حوضه آبخیز هراز به این نتیجه رسیده‌اند که روش MPSIAC دقیق‌تر و شدت رسوب‌دهی حوضه با این روش در حد متوسط است. محمدیان (۱۳۸۶) در پژوهشی با عنوان «روش‌های برآورد فرسایش و رسوب براساس مدل‌های رایج تجربی فرسایش MPSIAC، EPM و (PSIAC)» در حوضه گوهررود رشت به این نتیجه رسیده است که مقادیر حاصل از مدل EPM با مقدار رسوب واقعی حوضه بسیار نزدیک و همسان است. بدین لحاظ این روش برای محاسبه فرسایش در حوضه‌های مشابه گوهررود مناسب‌تر است که ایستگاه‌های رسوب‌سنجدی ندارند. هدف از انجام این پژوهش، ارزیابی کمی فرسایش آبی خاک در حوضه آبخیز بدرانلوست؛ بنابراین انجام پژوهشی در این رابطه ضروری به نظر می‌رسد که ضمن بررسی علل و درک درست‌تر از فرایند فرسایش

برآورد کمی فرسایش و رسوب می‌کنند (هاشمی و خدری، ۱۳۸۶: ۴۵). اشکال فرسایش، مؤلفه‌ها و فرایندهای مؤثر بر آن در یک منطقه، استفاده از مدل‌هایی را الزامی می‌سازد. در این پژوهش برای برآورد فرسایش آبی خاک از مدل EPM با تأکید بر عواملی چون وضعیت توپوگرافی، سنگشناسی، خاک و نحوه استفاده از اراضی و عوامل اقلیمی استفاده شده است.

### پیشینهٔ پژوهش

مطالعات گسترده‌ای در ایران و جهان درباره مدل EPM صورت گرفته است؛ برای نمونه رنگز و همکاران (۱۳۸۷) دو مدل EPM و MPSIAC را در برآورد فرسایش و رسوب حوضه پگاه سرخ گتوند مقایسه کردند. پژوهش نشان می‌دهد نتایج به دست‌آمده از دو مدل در بیشتر مناطق انطباق زیادی با هم دارند؛ اما نتایج مدل EPM برای شناسایی مناطق دارای فرسایش زیاد به اندازه مدل MPSIAC مطمئن نیست.

نتایج مطالعات بتنی و کریسمر (۲۰۰۰) نشان داد افزایش درصد شبکه بین ۴ تا ۱۶ درصد تأثیر مثبت و معناداری بر میزان هدررفت خاک دارد.

دادرسی سبزوار (۱۳۸۴) اثر تغییرات عمق خاک و شبکه را بر میزان تولید رسوب بررسی کرد و دریافت بین میزان تولید سالیانه رسوب با زاویه و طول شبکه دامنه رابطه همبستگی مستقیمی وجود و میزان تولید سالیانه رسوب با عمق خاک همبستگی معکوس دارد. عابدینی (۱۳۸۵) عامل شبکه را مسبب افزایش نیروی ثقل و قدرت فرسایندگی می‌داند که پیرو آن مسائل مورفودینامیک، مورفوژنز و تحول و تنوع

<sup>1</sup> Gully Erosion

<sup>2</sup> Bagarello et al

کمی فرسایش موسوم به MQCE<sup>۱</sup> بود که در سال ۱۹۵۲ در کشور یوگسلاوی سابق شکل گرفت. پس از نزدیک به ۴۰ سال پژوهش و واسنجی برای نخستین بار در سال ۱۹۸۸ در کنفرانس بین‌المللی رژیم رودخانه، گاوریلوویچ<sup>۲</sup> فرمول محاسبه فرسایش و برآورد رسوب را نیز به آن افروز که EPM نام گرفت (رفاهی، ۱۳۹۴: ۳۰۸). در این مدل که از نوع تجربی، پارامتری و متريک است، تعیین شدت کيفی فرسایش (Z) با سه عامل کاربری زمين، ضريب حساسیت خاک به فرسایش و شیب صورت می‌گیرد و میزان دقیق آن (W) با احتساب عوامل اقلیمی بارش و دما مشخص می‌شود و درنهایت برآورد رسوب (G) با استفاده از ضريب ژئومورفیک (R) انجام می‌گیرد. به منظور ارزیابی کمی فرسایش آبی خاک ابتدا هریک از نقشه‌های پایه مورد نیاز به محیط نرم‌افزار ILWIS 3.3 وارد شدند و اقدامات زیر روی آنها انجام شد:

پس از رقومی‌کردن نقشه توپوگرافی و درون‌یابی منحنی‌های تراز، نقشه شیب به درصد تهیه و توان ۰/۵ آن محاسبه شد.

با رسم نقشه ژئومورفولوژی حوضه تا حد رخساره یا واحد کاری و با استفاده از جدول مربوط به ضريب فرسایش در رخساره یا لندفرم‌ها، نقشه ضريب فرسایش ( $\phi$ ) در رخساره یا واحد کاری تهیه شد.

با اعمال رابطه (۱) و استفاده از نقشه ضريب فرسایش ( $\phi$ )، نقشه ضريب استفاده از زمين (Xa) تهیه شد.

و ارزیابی کمی فرسایش آبی خاک، به منظور اقدامات کنترلی و پیشگیرانه از روند تخریب پیشنهادهای را ارائه دهد.

### پرسش‌های پژوهش

پرسش‌های این پژوهش عمدهاً درباره مقدار رسوب ویژه سالیانه زیرحوضه‌ها و کل حوضه، فرسایش‌پذیرترین زیرحوضه‌ها و راهکارهای حفاظتی هریک و مهم‌ترین عوامل مؤثر در فرسایش آبی خاک حوضه است. شواهد موجود این فرضیه‌ها را تداعی می‌کند که حوضه بدرانلو و زیرحوضه‌های آن مقدار رسوب ویژه زیادی نسبت به حوضه‌های مجاور دارند و تفاوت در ویژگی‌های سطح حوضه سبب شده است تا بعضی از زیرحوضه‌ها فرسایش‌پذیری زیادی داشته باشند؛ همچنین بعضی از عوامل توپوگرافی با فرسایش آبی خاک همبستگی زیادی دارند و در افزایش آن نقش ایفا می‌کنند.

### روش‌شناسی پژوهش

در این پژوهش برای برآورد میزان رسوب و تأثیر عوامل توپوگرافی در شدت فرسایش خاک حوضه بدرانلو از نقشه توپوگرافی ۱:۵۰۰۰۰ بجنورد، زمین‌شناسی ۱:۱۰۰۰۰ و ۱:۲۵۰۰۰ بجنورد و عکس‌های هوایی ۱:۵۰۰۰۰ استفاده شد. روش به کاررفته در این پژوهش تحلیلی - توصیفی مبتنی بر تکنیک‌های میدانی، ابزار GIS و آنالیز آماری است. در ارزیابی فرسایش آبی خاک، روش پتانسیل فرسایش یا مدل EPM به کار رفته است. این مدل ابتدا به صورت کیفی ارائه شد و روش طبقه‌بندی

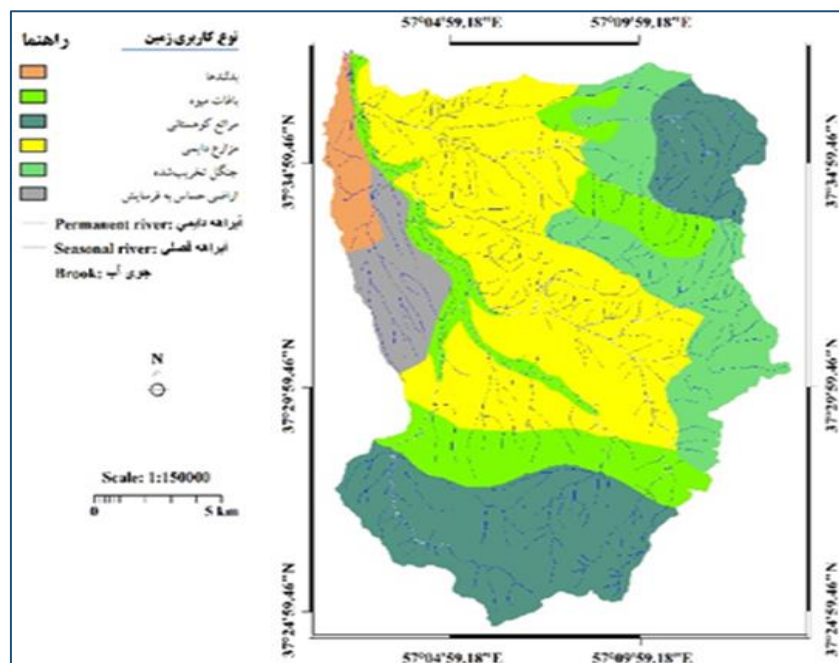
<sup>1</sup> Method of Quantitative Classification of Erosion

<sup>2</sup> Gavrylovich

$t = \text{pow}(\text{Temp}, 0.5)$	رابطه ۵	$X_a = (\phi + I)^{0.5}$	رابطه ۱
$T = \left( \frac{t}{10} + 0.1 \right)^{0.5}$	رابطه ۶	از روی نقشه‌های زمین‌شناسی، خاک‌شناسی، باندهای تصاویر ماهواره‌ای و با اطلاعات اکتسابی از بررسی میدانی و با استفاده از جدول مربوط به مقادیر ضریب حساسیت خاک به فرسایش (Y)، نقشه ضریب حساسیت خاک به فرسایش حوضه تهیه و با اعمال رابطه (۲) نقشه ضریب شدت فرسایش (Z) حاصل شد.	
از حاصل ضرب نقشه ضریب دمای حوضه (نقشه T)، نقشه میانگین بارش سالیانه حوضه (H)، عدد $\pi$ و با به توان $1/5$ رساندن نقشه ضریب فرسایش حوضه (Z <sub>2</sub> )، نقشه متوسط سالیانه فرسایش ویژه (W <sub>SP</sub> ) برحسب ( $Km^3/Km^2$ ) از رابطه (۷) به دست آمد (شکل ۲).			
$W_{sp} = T \cdot H \cdot \pi \cdot Z_2^{1.5}$	رابطه ۷	$Z = X_a \cdot Y$	رابطه ۲
سپس با درج رابطه (۸) ضریب رسوب‌دهی حوضه (R <sub>U</sub> ) محاسبه شد که برابر با $0.059$ است.		برای تهیه نقشه حاصل ضرب ضریب استفاده از +ETM <sup>+</sup> ماهواره لندست و ایجاد ترکیب رنگی کاذب با استفاده از باندهای ۳-۴-۵، انجام عملیات طبقه‌بندی نظارت شده و کنترل زمینی نقشه کاربری اراضی (شکل ۱) حاصل و با اختصاص مقادیر ضریب کاربری اراضی به هریک از کاربری‌ها، از حاصل ضرب نقشه کاربری اراضی با نقشه ضریب شدت فرسایش (Z)، نقشه حاصل ضرب ضریب استفاده از زمین (Z <sub>1</sub> ) از رابطه (۳) تهیه شد.	
$T = \frac{4(P,D)0.5}{L+10}$	رابطه ۸		
در این رابطه P محیط حوضه برحسب (Km)، D اختلاف ارتفاع بین ارتفاع متوسط و نقطه خروجی حوضه برحسب (Km) و L طول حوضه برحسب (Km) است.			
درنهایت از حاصل ضرب نقشه متوسط سالیانه فرسایش ویژه (W <sub>SP</sub> ) و ضریب رسوب‌دهی حوضه (R <sub>U</sub> ) و استفاده از رابطه (۹)، نقشه مقدار رسوب ویژه حوضه (G <sub>SP</sub> ) تهیه شد که در آن مقدار رسوب برای هر پیکسل به نمایندگی از هر هکتار محاسبه شده است (شکل ۳).			
$G_{sp} = W_{sp} \cdot R_u$	رابطه ۹	$Z_1 = \text{Landuse} \cdot Z$	رابطه ۳
با توجه به اینکه یکی از اهداف این پژوهش، محاسبه مقدار رسوب ویژه برای هر زیرحوضه است، با انقطاع‌دادن نقشه رستری زیرحوضه‌های منطقه (شکل ۴) با نقشه مقدار رسوب ویژه و با استفاده از توابع تجمع و به کارگیری دستورهای Aggregation و		سپس با اعمال رابطه (۴) در نرم‌افزار، نقشه ضریب فرسایش حوضه (Z <sub>2</sub> ) تهیه شد.	
		$Z_2 = Z_1 \cdot Z$	رابطه ۴
		با توجه به رابطه (۵) و با به توان $0.5$ رساندن نقشه میانگین دمای سالیانه حوضه (Temp)، نقشه رستری ضریب دمای سالیانه (t) تهیه شد؛ سپس با قراردادن نقشه رستری ضریب دمای سالیانه (نقشه t) در رابطه (۶)، نقشه ضریب دمای حوضه (T) و ضریب دما برای هر پیکسل به دست آمد.	

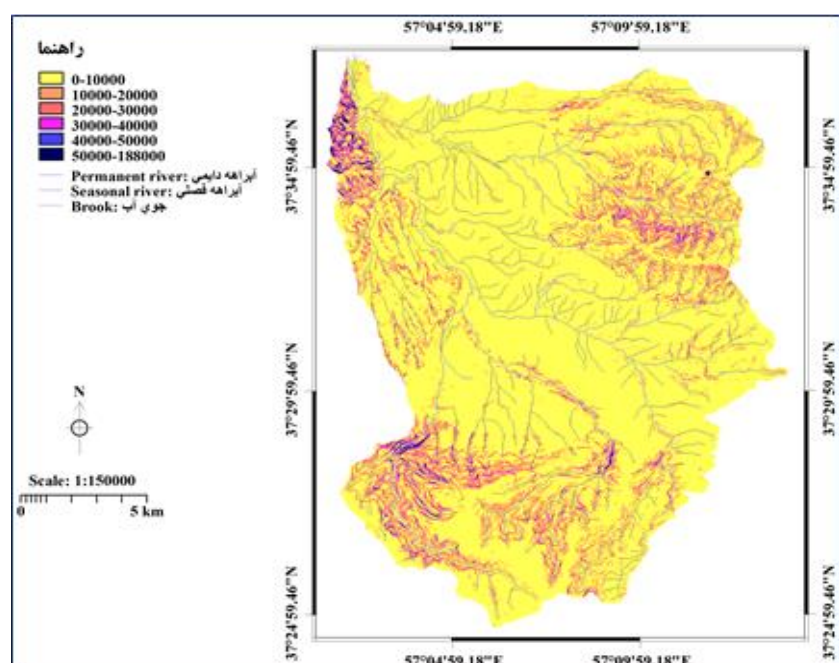
و نقشهٔ میزان شدت رسوب‌دهی ۷ زیرحوضه از بسیار کم تا بسیار شدید تهیه شد (شکل ۵).

Aggregate Column انقطع در جدول حاصل از عمل JLWIS 3.3، مقدار رسوب ویژه برای هر زیرحوضه بر حسب Tone/Hec/Year حاصل



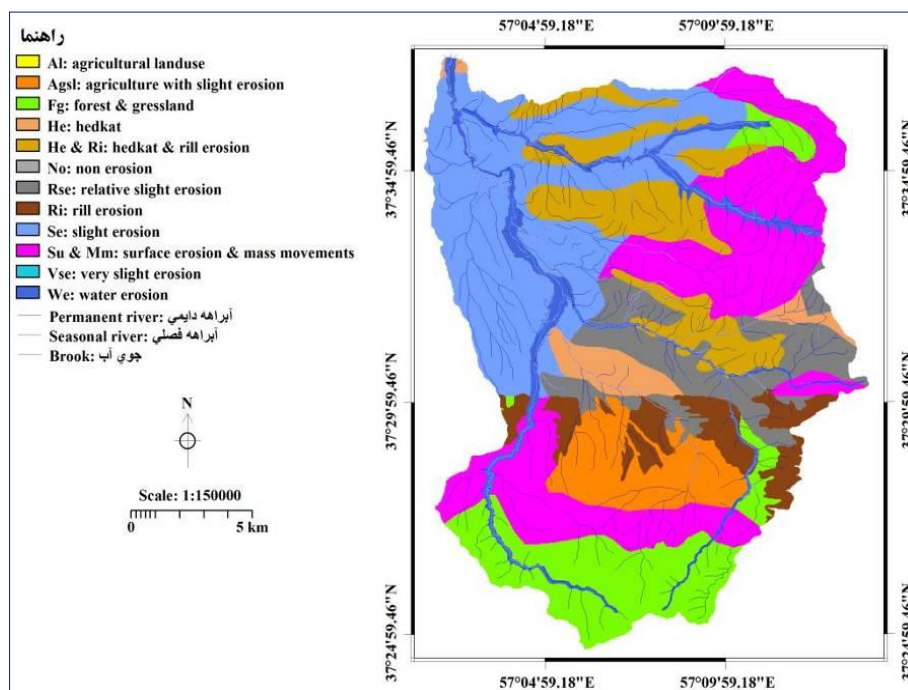
شکل ۱. نقشهٔ کاربری اراضی حوضهٔ آبخیز بدرانلو

منبع: تصاویر باندهای ۳، ۴ و ۵ ماهواره‌لنست و بررسی میدانی نویسندهان



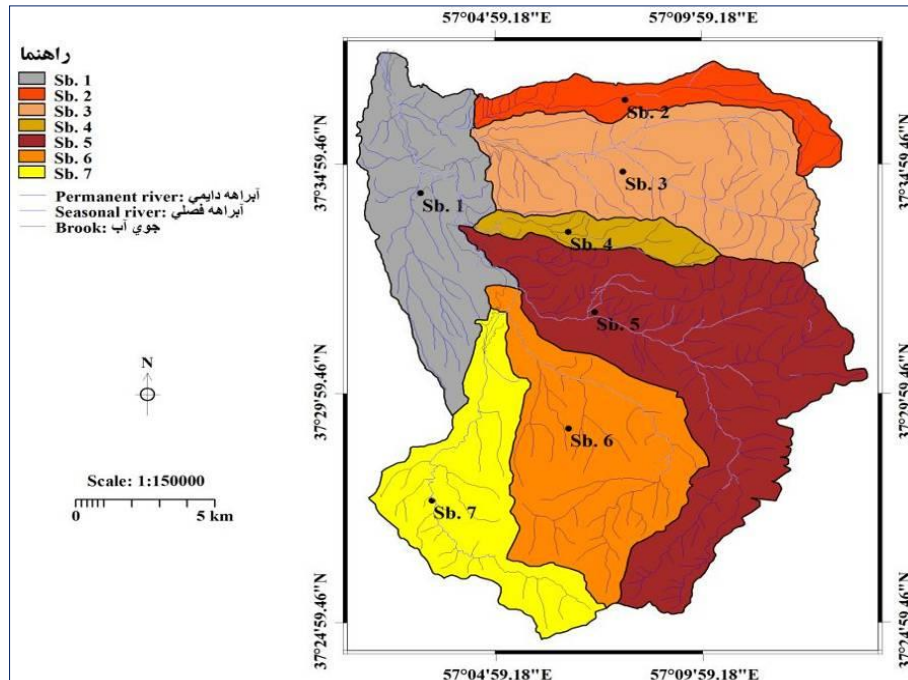
شکل ۲. نقشهٔ متوسط سالیانه فرسایش ویژه ( $W_{Sp}$ ) حوضهٔ آبخیز بدرانلو

منبع: نقشه‌های ضرب دما، میانگین بارش سالیانه حوضه، نقشهٔ ضرب فرسایش حوضه و محاسبات نویسندهان



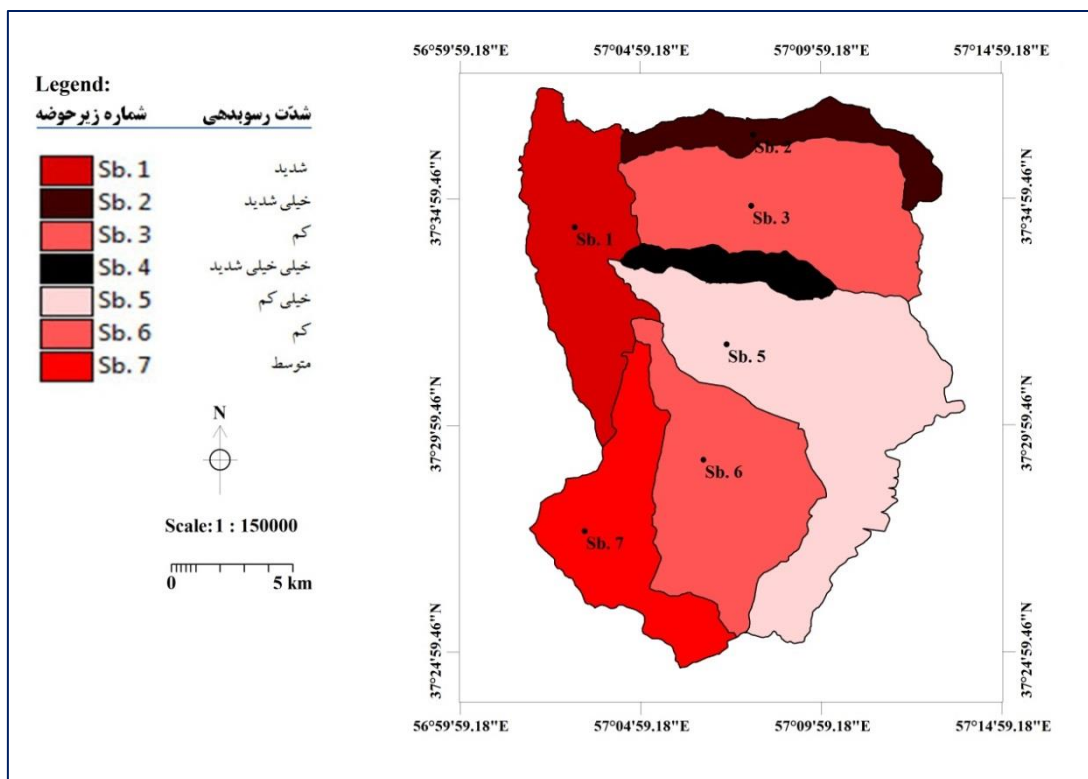
شکل ۳. نقشه رسو ب ویژه ( $G_{Sp}$ ) حوضه آبخیز بدرانلو

منبع: نقشه‌های متوسط سالیانه فرسایش ویژه، ضریب رسو بدهی حوضه و محاسبات نویستگان



شکل ۴. نقشه زیر حوضه‌های هفتگانه حوضه آبخیز بدرانلو

منبع: نقشه توپوگرافی ۱:۵۰۰۰۰ ورقه بدرانلو چاپ سازمان جغرافیایی نیروهای مسلح



شکل ۵. نقشه میزان شدت رسوبدهی زیر حوضه‌های هفتگانه حوضه آبخیز بدرانلو

منبع: نقشه‌های زیر حوضه‌ها و مقدار رسوب ویژه حوضه و محاسبات نویسنده‌گان

### معرفی محدوده پژوهش

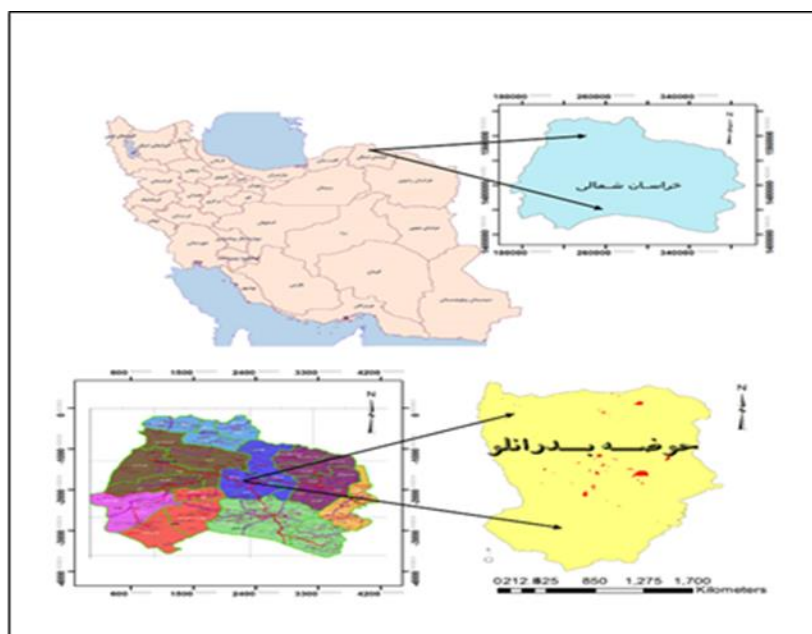
حوضه آبخیز بدرانلو در عرض جغرافیایی ۳۷ درجه و ۲۴ دقیقه تا ۳۷ درجه و ۳۷ دقیقه شمالی و طول جغرافیایی ۵۷ درجه و ۱۰ دقیقه تا ۵۷ درجه و ۱۳ دقیقه شرقی واقع شده است. این حوضه از نظر موقعیت نسبی در بخش میانی استان خراسان شمالی، ۱۰ کیلومتری غرب شهر بجنورد و در بخش مرکزی شهرستان بجنورد قرار دارد. مساحت این حوضه ۳۷/۳۰ کیلومتر مربع و محیط آن ۸۷/۶ کیلومتر است و از نظر توپوگرافی در منطقه‌ای کوهستانی و از نظر جایگاه زمین‌شناسی در پهنه رسوبی - ساختاری گپه‌داغ قرار دارد. بیشینه و کمینه ارتفاع در این حوضه به ترتیب ۲۱۷۶ و ۶۸۶ متر است و با جمعیتی بیش از

ضمن تحلیل نقش لیتولوژی در فرسایش خاک با استفاده از نتایج آزمایشگاهی و تکنیک سیستم اطلاعات جغرافیایی در بررسی نقش عوامل توپوگرافی در فرسایش آبی خاک، با درنظر گرفتن مقدار رسوب ویژه به عنوان متغیر وابسته و ویژگی‌های توپوگرافی کمیت‌پذیر نظیر میزان شیب، جهت شیب و ارتفاع به‌منظمه متغیر مستقل، تجزیه و تحلیل‌های لازم با روش ANOVA در محیط نرم‌افزار آماری SPSS انجام شد. برای بررسی رابطه بین میزان رسوب ویژه با عامل جهت شیب در محیط نرم‌افزاری SPSS، از طریق Recode in to different Transform و گزینه Variables عمل کدبندی انجام و برای بررسی ارتباط بین متغیرها از آزمون ONE WAY ANOVA استفاده شد.

۲۹۱۰۰ نفر در قالب ۳۶ روستای دارای سکنه، ساختار اقتصادی-اجتماعی روستایی و کاربری کشاورزی دارد.

جدول ۱. بعضی از ویژگی‌های فیزیکی حوضه آبخیز بدرانلو

کمترین ارتفاع (m)	بیشترین ارتفاع (m)	متوسط شیب (%)	شیب متوسط آبراهه اصلی (%)	مساحت حوضه آبراهه (km <sup>2</sup> )	محیط حوضه (km)
۵۷/۶۳	۲۱۷۶	۴/۲	۳۰۰/۳۷	۳۰۰/۳۷	۸۷/۶



شکل ۶. موقعیت محدوده پژوهش

حدود ۳۶/۶۳ درصد از سطح حوضه را رخساره‌های

دارای ضریب فرسایش بیش از ۰/۷ نظیر نقاط با فرسایش سطحی و حرکات توده‌ای، هدکت و فرسایش شیاری تشکیل می‌دهد.

#### یافته‌های پژوهش

بررسی نقشه ضریب فرسایش در واحدهای کاری نشان می‌دهد نقاط بدون فرسایش و دارای فرسایش بسیار ناچیز در حوضه وجود ندارد و بخش عمده سطح آن متأثر از فرسایش آبی شدید است. در این بین

جدول ۲. ضریب فرسایش ( $\phi$ ) در رخساره‌ها یا واحدهای کاری حوضه آبخیز بدرانلو

سنجه	رخساره یا واحد کاری	آراضی کشاورزی با فرسایش تا پیش از	بنگل و مرغ	هدکت و فرسایش شیاری	منطقه بدون فرسایش	منطقه با فرسایش نسبتاً	فرسایش شیاری	منطقه با فرسایش ناچیز	جات و توده‌ای	منطقه با فرسایش سطحی و	قطقه دارای فرسایش بسیار	منطقه دارای فرسایش بسیار آق
ضریب فرسایش	۰/۱	۰/۱	۰/۱	۹۵۱	۳۸۲۱	۰/۰۱	۲۸۹۲	۰/۰۱	۰/۰۵	۰/۷	۰/۰۴	۰/۳
مساحت (Hec)	۲۰۵۶	۳۸۲۱	۰/۱	۹۵۱	۳۳۸۱	۰	۱۷۳۳	۰/۰۱	۶۹۰۷	۶۶۷۰	۰	۱۶۲۵

سنگ‌شناسی و خاک‌شناسی شامل شیل مارنی خاکستری تیره سازند سنگانه، مارن و آهک مارنی سبز و آهک اوریتولین دار کرم‌رنگ سازند سرچشمه، نهشته‌های لُسی، پادگانه‌ها، مخروط‌افکنه‌های جوان و دشت‌های آبرفتی و کنگلومرای نژوژن است.

بررسی نقشه ضریب حساسیت خاک حوضه به فرسایش نیز حاکمی است از مجموع مساحت ۳۰۰/۳۷ هکتاری حوضه حدود ۵۴/۲۴ درصد را خاک‌ها و سنگ‌های حساس به فرسایش و با ضریب حساسیت بیشتر از ۱ تشکیل می‌دهند که از نظر شرایط

جدول ۳. مقادیر ضریب حساسیت خاک به فرسایش (Y) در حوضه آبخیز بدرانلو

شماره	شرایط سنگ‌شناسی و خاک‌شناسی	علامت اختصاری	مساحت (Hec)	ضریب حساسیت
۱	پادگانه‌ها، مخروط‌افکنه‌های جوان و دشت‌های آبرفتی	Q	۷۶۶	۱/۵
۲	پادگانه‌ها، مخروط‌افکنه‌های قدیمی و دشت‌های آبرفتی	Q <sub>t</sub>	۱۷۷۸	۱
۳	کنگلومرای نژوژن	N	۷۶۸۶	۱/۲
۴	آهک اوریتولین دار روشن (سازند تیرگان)	K <sub>tr</sub>	۱۱۹۶۶	۰/۹
۵	شیل مارنی خاکستری تیره (سازند سنگانه)	K <sub>sn</sub>	۲۱۰	۲
۶	مارن و آهک مارنی سبز و آهک اوریتولین دار کرم‌رنگ	K <sub>sr</sub>	۲۹۶۸	۱/۷
۷	نهشته‌های لُسی	Q <sub>l</sub>	۴۶۶۳	۱/۶

اراضی کشاورزی شخم‌خورده حساس به فرسایش، باغ‌های میوه و درختان مشمر و جنگل‌های مخروبه، بوتهزار و مرتع روی خاک فرسایش یافته دارند.

بررسی نقشه کاربری اراضی حوضه نشان می‌دهد ۳۹/۹۷ درصد از اراضی ضریب استفاده بیش از ۰/۵ و سازندهای حساس به فرسایش آبی و دارای هزاردره،

جدول ۴. مقادیر ضریب استفاده از زمین (Xa) در حوضه آبخیز بدرانلو

شماره	شرایط استفاده از زمین	علامت در راهنمای نقشه	مساحت (Hec)	ضریب استفاده از زمین
۱	سازندهای حساس به فرسایش آبی و دارای هزاردره	Badlands	۹۶۰	۱
۲	* باع‌های میوه و درختان مشمر *	Fruit gardens	۴۸۶۹	۰/۸
۳	مراتع کوهستانی	Mountain grassland	۷۴۰۳	۰/۵
۴	مزراع دائمی و نباتات علوفه‌ای	Permanent farms	۱۰۶۲۹	۰/۴
۵	جنگل‌های مخروبه، بوتهزار و مرتع روی خاک فرسایش یافته	Ruined forest	۴۴۴۷	۰/۶
۶	اراضی کشاورزی شخم‌خورده حساس به فرسایش	Sensitive to erosion lands	۱۷۲۹	۰/۹

\* بخش عمده‌ای از باغ‌های منطقه را باغ‌های دیم در اراضی شیب‌دار تشکیل می‌دهند و از ضریب زیادی برخوردارند.

در هر هکتار است. در بین زیر‌حوضه‌ها، زیر‌حوضه ۴ به دلیل عملیات خاک‌ورزی غیراصولی، شیب زیاد و راهاندازی باغ‌های انگور دیم در شیب‌های تند سالیانه با ۶۳/۸۹ تن فرسایش خاک در هر هکتار، بیشترین

براساس ارزیابی صورت‌گرفته با روش EPM، سالیانه در مجموع ۴۶۱۵۷۳/۹۵ تن خاک در اثر فرسایش آبی از سطح حوضه خارج می‌شود. میانگین سالیانه فرسایش خاک زیر‌حوضه‌ها برابر با ۲۳/۷۳ تن

نوع پوشش - کاربری اراضی و گسترش سازندها و رسوبات نفوذپذیر، کمترین میانگین رسوب ویژه سالیانه در سطح حوضه مربوط به زیرحوضه ۵ با ۵/۵۵ تن خاک در هکتار است.

مقدار رسوب ویژه را دارد که ۳۳ تن در هر هکتار است. علاوه بر زیرحوضه ۴، در زیرحوضه‌های ۱، ۲ و ۷ نیز فرسایش خاک بسیار زیاد است. به دلایلی چون ارتفاع کمتر، شبیه ملایم، خاکورزی اصولی،

جدول ۵. مقدار رسوب ویژه بر حسب Tone/Hec/Year در هر یک از زیرحوضه‌های حوضه بدرانلو

(Tone/Hec/Year)	مقدار رسوب ویژه (Tone)	مجموع رسوب ویژه برای زیرحوضه‌ها	مساحت (Hec)	زیرحوضه‌ها
۱۹/۰۷		۸۳۳۱۸/۳۴	۴۳۶۸/۰۸	زیرحوضه ۱
۳۳/۳۷		۵۸۷۶۱/۱۴	۱۷۶۰/۸۳	زیرحوضه ۲
۱۳		۷۱۳۸۶/۱۴	۵۵۰۳/۲۶	زیرحوضه ۳
۶۳/۸۹		۶۴۱۴۱/۴۴	۱۰۰۳/۸۵	زیرحوضه ۴
۵/۵۵		۴۶۳۴۱/۶۹	۸۳۴۴/۹۲	زیرحوضه ۵
۱۳		۶۷۶۹۰/۵۸	۵۲۱۸/۳۶	زیرحوضه ۶
۱۸/۲۳		۶۹۹۳۴/۶۲	۳۸۳۶/۷۷	زیرحوضه ۷
-		۴۶۱۵۷۳/۹۵	۳۰۰۳۶/۰۷	مجموع
۲۳/۷۳		-	-	میانگین

منع: انقطاع نقشه مقدار رسوب ویژه حوضه (GSp) با نقشه زیرحوضه‌های حوضه و محاسبات نویسندهان

پوشش گیاهی سبب می‌شود تا ظرفیت ذخیره آب خاک در حوضه کمتر شود. از سوی دیگر وجود مقدار بسیاری سیلت بدون چسبندگی فرسایش‌پذیری خاک‌ها را افزایش می‌دهد. تکامل نیافتگی، فزونی کاتیون K، نسبت زیاد سیلیس به اکسیدهای آهن و آلومینیوم در گروه رس‌های مونت موریلوبونیت، درصد کمتر کربن آلی و وجود هوموس نارس در خاک و محدودیت فعالیت میکروارگانیسم‌ها سبب می‌شود خاک‌های حوضه ساختمان پراکنده داشته باشند. مجموع این ویژگی‌ها سبب می‌شود ذرات خاک ناپایداری نسبی پیدا کنند و در اثر برخورد قطرات باران یا نیروی برشی آبدوی از توده خاک جدا و منتقل یا دچار حرکات توده‌ای شوند (شکل‌های ۷ و ۸).

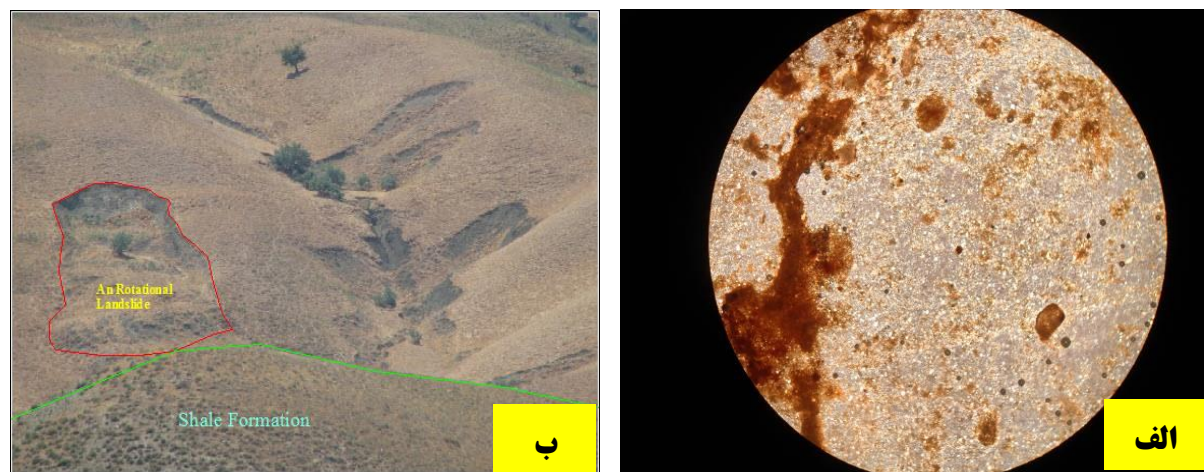
شرایط یکسان اقلیمی و پوشش گیاهی حاکم در حوضه نشان می‌دهد فرسایش آبی خاک‌های سطح حوضه منشأ زمین‌شناسی، توپوگرافی و تشیدی دارد. شرایط زمین‌شناسی حوضه به صورت مقادیر ضریب حساسیت خاک به فرسایش (Y) در مدل EPM لحاظ شده است. حدود ۵۴/۲۴ درصد از وسعت حوضه متشکل از شیل مارنی، مارن و آهک مارنی، نهشته‌های لُسی، پادگانه‌های رودخانه‌ای، مخروطافکنه‌ها و رسوبات آواری کنگلومراپی با درصد زیادی از خاک‌های سیلی و رسی غیرکائولینیتی و با ضریب حساسیت بیش از ۱ است. وجود کلوزیدها و رس‌های آماس‌پذیر و قطر انداز خاکدانه‌ها سرعت نفوذ ریزش‌های جوئی در خاک را کاهش می‌دهد و کمبود مواد آلی در اثر تخریب



ب- آثار و شواهد فرسایش گالی و خندقی خاک در سطح حوضه

عکس از نگارنده (بهار- ۱۳۹۳)

شکل ۷. الف- شکم در جهت شیب در دیمزارهای حوضه



ب. حرکات توده‌ای در دامنه‌های با پی‌سنگ حساس، زودفرسا و نفوذناپذیر شیلی موسوم به سازند سنگانه (Ksn)

شکل ۸. الف- عکس تهیه شده با عدسی  $10\times$  میکروسکوپ پلاریزان از مقطع نازک سازند شیلی سطح حوضه. در این تصویر دانه‌های سفیدرنگ ذرات سیلیس و لکه‌های قهوه‌ای اکسیدهای آهن‌اند.

مکانیکی، فقر خاک و پوشش گیاهی، اصولاً فرسایش خاک بیشتری حاکم است. با توجه به وقوع بارش‌های همرفتی در ارتفاعات حوضه این نقاط نیز فرسایش بیشتری دارند. بدین منظور با درنظرگرفتن میزان رسوب ویژه و ویژگی‌های توپوگرافی آزمون‌پذیر، تحلیل‌های آماری با روش رگرسیون چندمتغیره در

علاوه بر فرسایش زمین‌شناختی و تشیدی، توپوگرافی که مهم‌ترین عامل در مدل EPM محسوب می‌شود، در افزایش فرسایش آبی خاک سطح حوضه نقش بر جسته‌ای دارد. با افزایش شیب دامنه روان‌آب سرعت می‌گیرد و بار بیشتری را با خود حمل می‌کند؛ همچنین در دامنه‌های جنوبی به دلیل حاکمیت تخریب

(ضریب  $0.87 \pm 0$ ) بین مقدار رسوب ویژه و میزان شیب دامنه است (جدول ۶ و شکل ۹). کوچکتر از  $0.05$  بدین معناست که با افزایش میزان شیب دامنه‌ها در حوضه، مقدار رسوب ویژه نیز بیشتر می‌شود.

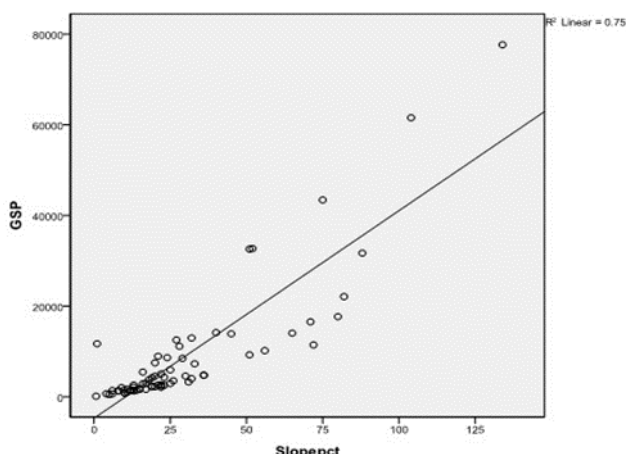
محیط نرم‌افزار آماری SPSS انجام گرفت. برای بررسی رابطه بین میزان رسوب ویژه ( $G_{sp}$ ) با عامل شیب (Slopepct) و ارتفاع (Elevation) از آزمون تحلیل واریانس استفاده شد. خروجی‌ها حاکی از معناداری وجود یک همبستگی مستقیم و نسبتاً کامل

#### جدول ۶. خروجی آزمون تحلیل واریانس بین متغیرهای مقدار رسوب ویژه و میزان شیب

Model	Sum of Squares	df	Mean Square	F	Sig.
Regression	9/662 E9	1	9/662 E9	212/202	000*
Residual	3/142E9	69	4/553 E7		
Total	1/280E10	70			

a. Predictors: (Constant), Slopepct

b. Dependent Variable: GSP



شکل ۹. نمودار همبستگی متغیرهای مقدار رسوب ویژه و جهت شیب

منظور ایجاد اطمینان از این ویژگی، با استفاده از گزینه Open pixel information در نرم‌افزار ILWIS، نقشه‌های DEM و سنگ‌شناسی حوضه به محیط آن اضافه و مشخص شد هرچا ارتفاع حوضه بیشتر می‌شود، لیتوژئی از نوع سنگ آهک است. این سازند که در مناطق نیمه‌خشک ارتفاع‌ساز است، به دلیل تکتونیزه‌بودن و انحلال‌پذیری نسبی، قابلیت نفوذ بیشتری دارد و فرسایش آبی خاک را کاهش می‌دهد.

خروجی‌های آزمون ANOVA با توجه به ضریب  $0.025 \pm 0.034$ ، حاکی از معنادارنبوذن و همبستگی‌نداشتن مقدار رسوب ویژه و عامل ارتفاع است (جدول ۷ و شکل ۱۰). اساساً ارتفاع با بارش از همبستگی مستقیمی برخوردارند. بدین معنا که با افزایش ارتفاع بر میزان آن افزوده می‌شود، رژیم آن به رگباری تغییر می‌یابد و نوع آن با توجه به فصل نیز تغییر می‌کند. Sig بزرگ‌تر از  $0.05$  بدین معناست که با بیشترشدن ارتفاع در سطح حوضه، فرسایش آبی خاک افزایش نمی‌یابد. با توجه به نتایج به دست آمده به

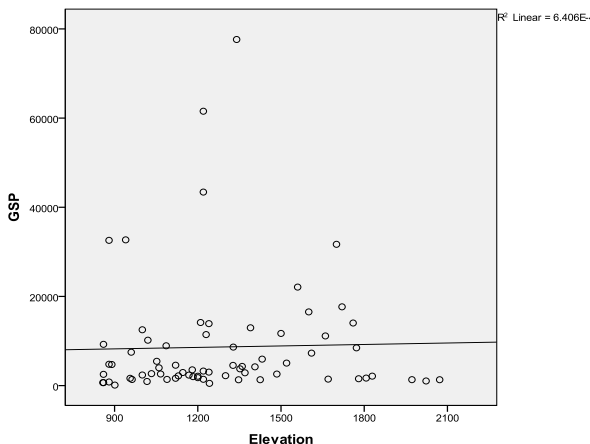
### جدول ۷. خروجی آزمون تحلیل واریانس بین متغیرهای مقدار رسوب ویژه و ارتفاع

ANOVA<sup>b</sup>

Model	Sum of Squares	df	Mean Square	F	Sig.
1	Regression	8201777/887	1	8201777/887	.۰۴۴
	Residual	1/279 E10	69	1/854 E8	
	Total	1/280 E10	70		

a. Predictors: (Constant), Elevation

b. Dependent Variable: GSP



### شکل ۱۰. نمودار همبستگی نگار متغیرهای مقدار رسوب ویژه و ارتفاع

۱۱۲/۵ درجه است. شیب‌های شمال غربی و غربی با آزیموت ۲۴۷/۵ تا ۳۳۷/۵ درجه بیشترین میزان فرسایش آبی خاک را دارند که نشان از تأثیر سیستم‌های بارشی ورودی توأم با باد و برتری عامل آنتروپوژنیک دارد. حال آنکه وضع موجود چنین نیست و طی سال‌های اخیر به دلیل تغییر کاربری اراضی مرتعی و جنگلی به زراعی و شخم غیراصولی، فرسایش خاک در این دامنه‌ها تشدید شده است.

ضریب ۸/۳۴۸ و معناداری ۰/۰۰۰ در آزمون ANOVA نشان از معناداربودن و وجود همبستگی مستقیم بین مقدار رسوب ویژه و آزیموت دامنه دارد (جدول ۸ و شکل ۱۱). کوچکتر از ۰/۰۵ بدین معناست که در سطح حوضه با افزایش آزیموت جغرافیایی وجه دامنه، فرسایش خاک تغییر می‌یابد. کمترین فرسایش خاک به ترتیب مربوط به مناطق بدون جهت (Unknown) و دامنه‌های شمالی، شمال شرقی و شرقی با آزیموت ۳۳۷/۵ تا ۰ و ۳۶۰ تا

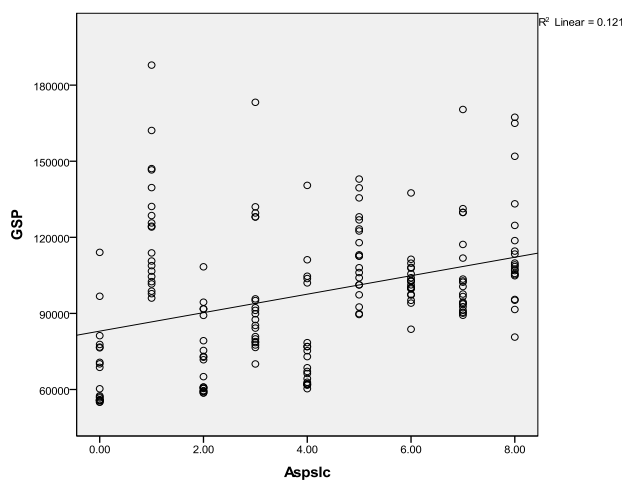
### جدول ۸. خروجی آزمون تحلیل واریانس بین متغیرهای مقدار رسوب ویژه و جهت دامنه

ANOVA<sup>b</sup>

Model	Sum of Squares	Df	Mean Square	F	Sig.
1	Regression	1/590 E10	1	1/590E10	24/532
	Residual	1/154 E11	178	6/483 E8	
	Total	1/313 E11	179		

a. Predictors: (Constant), Aspslc

b. Dependent Variable: GSP



شکل ۱۱. نمودار همبستگی نگار متغیرهای مقدار رسوب ویژه و جهت شیب

عوامل فرسایشی با تأثیر منفی در سرعت نفوذ آب، ظرفیت کل و ظرفیت نگهداری آب خاک، میزان آبدوی در خاکهای حوضه را بهشت افزایش داده و خاکهای سطحی را ناپایدار ساخته است. فرسایش آبی خاک که در سطح حوضه بدرانلو به شکل‌های شیاری، خندقی و تودهای وجود دارد، سالیانه حجم بسیار زیادی را به خود اختصاص می‌دهد. نتایج به دست آمده از به کارگیری مدل EPM نشان می‌دهد در مجموع سالیانه حدود ۴۶۱۵۷۴ تن خاک در اثر فرسایش آبی از سطح حوضه خارج می‌شود. میانگین سالیانه فرسایش خاک زیرحوضه‌های بدرانلو برابر با ۲۳/۷۳ تن در هر هکتار است. نتایج به دست آمده از مدل EPM نشان می‌دهد متأثر از توپوگرافی و لیتولوژی متنوع، میزان رسوب ویژه در حوضه دامنه نوسان زیاد حدود ۵۸ تن خاک در هکتار دارد؛ به گونه‌ای که در زیرحوضه ۴ به دلایلی چون شخم نامناسب، شیب زیاد، تغییر کاربری اراضی نیمه‌جنگلی و مرتعی واقع در دامنه‌های غربی و شمال غربی و احداث باغهای انگور دیم در شیب‌های تند، سالیانه

### نتیجه‌گیری

یافته‌های پژوهش نشان‌دهنده تأثیر زیاد عوامل زمین‌شناسی، انسانی و بعضی شرایط توپوگرافی در فرسایش منطقه است. کنش متقابل عوامل اثرگذار در حوضه منجر به تغییر روند فرسایش زمین‌شناسی از حالت متعارف به حالت «غیرمتعارف» شده و فرسایش به حدی است که با تشکیل و تکامل خاک جبران نمی‌شود. خروجی حاصل از آزمون ANOVA نیز مؤید تأثیر زیاد نحوه استفاده از زمین در فرسایش خاک سطح حوضه نسبت به عواملی چون لیتولوژی و جهت دامنه است. عملیات خاک‌ورزی غیراصولی، بهره‌برداری زیاد، کشت و کار روی سازندهای سیلتی - رسی حساس به فرسایش آبی، احداث تاکستان‌های دیم روی دامنه‌های شیب‌دار و تخریب جنگل‌ها و مراتع منجر به فرسایش تشديدي در خاکهای سطح حوضه شده است؛ به گونه‌ای که حدود ۳۹/۹۷ درصد از سطح حوضه را اراضی با ضریب استفاده بیش از ۰/۵ تشكیل می‌دهد.

منابع	
احمدی، حسن، (۱۳۹۰). ژئومورفولوژی کاربردی (فرسایش آبی)، جلد ۱، چاپ ۷، تهران، انتشارات دانشگاه تهران، ۶۸۰ ص.	۶۳/۸۹ تن فرسایش خاک در هکتار وجود دارد و زیرحوضه ۵ با ۵/۰۵ تن خاک در هکتار کمترین مقدار رسوب ویژه را دارد. آزمون تحلیل واریانس بین مقدار رسوب ویژه و ویژگی‌های توپوگرافی شامل میزان شبیب، جهت شبیب و ارتفاع، دلالت بر وجود همبستگی بین شبیب دامنه و جهت آن و نبود همبستگی بین ارتفاع با فرسایش آبی خاک دارد.
جداری عیوضی، جمشید و جوکار سرهنگی، عیسی، (۱۳۸۰). کارآیی واحدهای ژئومورفولوژی در ارزیابی فرسایش و رسوب (مطالعه موردی: حوضه آبخیز بوچان)، مجله پژوهش‌های جغرافیایی، دوره ۳، شماره ۴۰، ۷۹-۳۱.	نتایج پژوهش نشان‌دهنده رفتار دوگانه عامل زمین‌شناسی با فرسایش آبی خاک است. در ارتفاعات زیاد حوضه با وجود افزایش بارش و رژیم رگباری آن، به دلیل رخنمون سنگ آهک اوربیتولین دار موسوم به سازند تیرگان فرسایش خاک اندک است و سیستم آبرفتی پس‌خورند منفی از خود نشان می‌دهد که منجر به بهبودی سیستم آبرفتی می‌شود. بر عکس در نقاط شبیدار و دامنه‌های غربی و شمال غربی که شیل مارنی، مارن و آهک مارنی، نهشتلهای لُسی و کنگلومراتی با سیمان رسی نشور رخنمون پیدا می‌کند، فرسایش خاک به بیشترین حد می‌رسد و بقای سیستم آبرفتی را تهدید می‌کند. آثار ویران‌کننده پدیده فرسایش خاک در درازمدت از طریق کاهش محصول محسوس خواهد شد که دستیابی به اهداف اقتصادی را با چالش مواجه خواهد ساخت. در مجموع و با استفاده از نتایج این پژوهش و پژوهش‌های مشابه به نظر می‌رسد مدل EPM در مطالعات کوتاه درباره فرسایش خاک موفقیت‌آمیز باشد و برای حوضه‌های بدون آمار به راحتی اجراشدنی است. علت انتخاب این روش برای برآورد فرسایش و رسوب منطقه سادگی، عملی‌بودن روش مدنظر و میزان دانش و تجربه در این روش است.
دادرسی سبزوار، ابوالقاسم و رنگ‌آور، علی، (۱۳۸۴). بررسی اثر تغییرات عمق خاک و شبیب بر میزان تولید رسوب، مجموعه مقالات سومین همایش ملی فرسایش و رسوب، مرکز تحقیقات حفاظت خاک و آبخیزداری، ۶ ص.	
رجایی، عبدالحمید، (۱۳۷۳). ژئومورفولوژی کاربردی در برنامه‌ریزی و عمران ناحیه‌ای، تک‌جلدی، چاپ اول، تهران، نشر قومس، ۳۲۸ ص.	
رفاهی، حسین‌قلی، (۱۳۹۴). فرسایش آبی و کنترل آن، تک‌جلدی، چاپ ۷، تهران، انتشارات دانشگاه تهران، ۶۷۱ ص.	
رنگزن، کاظم، زراسوندی، علیرضا و حیدری، ارسلان، (۱۳۸۷)، مقایسه دو مدل EPM و MPSIAC در برآورد فرسایش و رسوب حوضه پگاه سرخ گتوнд خوزستان با استفاده از تکنیک‌های GIS، مجله پژوهش‌های جغرافیایی، دوره ۴۰، شماره ۶۴، ۱۲۳-۱۲۶.	

دو روش EPM, MPSIAC در برآورد فرسایش و رسوب در زیرحوضه املا از زیرحوضه های رودخانه تالار، سومین همایش ملی فرسایش و رسوب، مرکز تحقیقات حفاظت خاک و آبخیزداری کشور، سایت <https://www.civilica.com>

هاشمی، سید علی اصغر و عرب خدرا، محمود، (۱۳۸۶). ارزیابی مدل EPM از طریق رسوب سنگی مخازن سدهای کوچک، مجله علوم و فنون کشاورزی و منابع طبیعی، دوره ۴۲، شماره ۴، ۳۵۵-۳۴۵.

وزارت دفاع و پشتیبانی نیروهای مسلح، سازمان جغرافیایی، نقشه های ۱/۵۰۰۰۰ توپوگرافی بدرانلو و ارکان.

Battany, M. C., Grismer, M. E., (2000). - Rainfall runoff and erosion in Napa valley vineyards effect of slope cover and surface roughness, Hydrological process, Vol 14, 1289- 1304.

Bagarello, V., C., Di-Stefano, V., Ferro, P.I.A., Kinnell, V., Pampalone, P., & F., Todisco K, AJDN, (2011). Predicting soil loss on moderate slopes using an empirical model for sediment concentration, Journal of Hydrology, Vol 400, 267- 273.

Devent, J., & J., Poesen, (2005). Peredictig Soil erosion and sediment yield at the basin scale, Scale issues and and semi-quanlitation Model, Earth Science, Vol 20, 1-31.

Chakrabarti, A. K., (1992). Strategy for watershed management using remote sensing techniques, Pro National Symposium on Remote Sensing for Sustainable Development, Luchnow.

Foster, G. R., (1982). Modelling the erosion process, Hydrologic Modelling of small

رنگ آور، علی، (۱۳۸۴). احیای پوشش گیاهی مناسب ترین مدیریت کاهش رسوب در حوضه آبخیز سدهای محزنی کشور، نخستین همایش مدیریت رسوب، اهواز، ۹ ص، سایت <https://www.civilica.com>

زنگنه اسدی، محمدعلی، (۱۳۸۹). مدل های کمی ارزیابی فرسایش آبی، تک جلدی، چاپ اول، سبزوار، انتشارات دانشگاه تربیت معلم سبزوار، ۱۷۶ ص.

عابدینی، موسی، (۱۳۸۵). مورفو تکتونیک و مورفودینامیک حوضه آبخیز با سمنج چای با تأکید بر فرسایش خاک و رسوب دهی، طرح تحقیقاتی دانشگاه محقق اردبیلی، سایت <https://www.civilica.com>

محمدیان شویلی، محمدحسین و سرور، جلیل الدین، (۱۳۸۶). روش های برآورد فرسایش و رسوب براساس مدل های رایج تجربی MPSIAC ، همایش ملی علوم آبخیزداری ایران مدیریت حوضه های آبخیز کشور، سایت <https://www.civilica.com>

مؤسسه تحقیقات خاک و آب، (۱۳۸۳). خاک های ایران، تحولات نوین در شناسایی، مدیریت و بهره برداری، انتشارات سنا، نشریه شماره ۱۴۱۸، سایت <https://www.civilica.com>

هادیان امری، محمدعلی، موسوی، سید رمضان، سلیمانی، کریم و بیات، فاطمه، (۱۳۸۶). مقایسه

- desertification in southeastern Africa,** Hydrological Sciences Journal, Vol 52, 1146- 1161.
- Mccool, D. K., Brown, L. C., Foster, G. R., Mutchler, C. K., and Meyer, L. D., (1987). **Revised slope steepness factor for the Universalsoil loss equation**, Trance, Vol 4, 1387- 1396.
- watersheds**, American Society of Agricultural Engineers, Vol 2, 297- 382.
- Lajeczak, A., Janson, M., (1993). **Suspended sediment yield in the Baltic drainage Basin**, Nodic hydrology, Vol 24, 31- 52.
- Martin, R., W, Bosch, A., Vallejos, A., Gisbert, J., Andreu, J. M., Sanchez, Martos, F., (2007). **Hydrological implications of**